

## محاسبه‌ی نیروی بین دو کره‌ی رسانای باردار

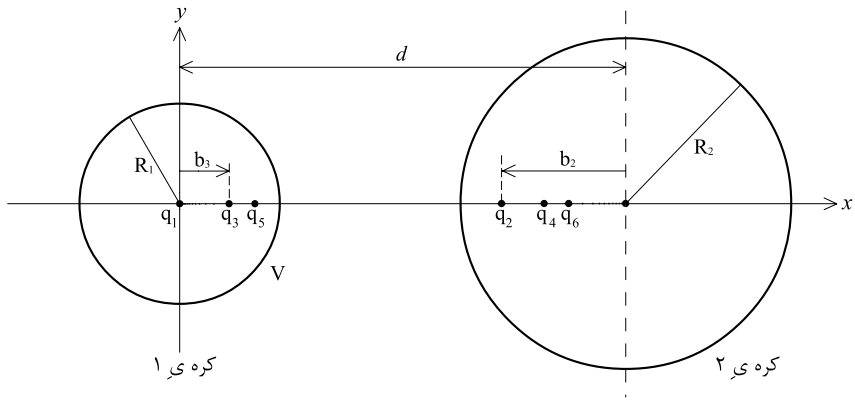
misimori@yahoo.com

مسلم مرادی

مسئله‌ی نیروی بین دو کره‌ی رسانای باردار به روش تصویرها متوالی حل می‌شود. حالت خاص دو کره‌ی چسبیده به هم نیز بررسی می‌شود.

### ۱ مقدمه

در حل مسئله‌ها مقدار مرزی در الکتروستاتیک از روش‌ها مختلف استفاده می‌شود. از این روش‌ها می‌توان به جداسازی متغیرها، نگاشت هم‌دیس، استفاده از تابع گرین، روش تصویری، معادلات انتگرالی، و بسط چندقطبی اشاره کرد. انتخاب مناسب هریک از این روش‌ها، در حل یک مسئله، با توجه به هندسه‌ی مسئله صورت می‌گیرد و سبب آسان‌تر شدن محاسبات خواهد شد. مسئله‌ی دو کره‌ی باردار، که کاربردها زیادی در پیدیده‌ها صنعتی و طبیعی پیدا کرده است [1]، توجه خیلی از فیزیک‌پیشه‌ها و ریاضی‌پیشه‌ها را بیش از صد سال است که به خود جلب کرده است. از جمله پو سون [2]، کلوین [3]، ماکسول [4]، راسیل [5] و ... وقتی دو کره‌ی رسانا (قطبیده) ای باردار نزدیک هم قرار می‌گیرند، القاء متقابل بین کره‌ها باعث می‌شود توزیع بار نیروی برهم‌کنش به اندازه‌ی کره‌ها بسته‌گی داشته باشد. برای حل این مسئله از روش‌های مختلف استفاده شده است [6]. یکی از این روش‌ها استفاده از مختصات دوکروی است. در کتاب آرفکن مسئله‌ی ظرفیت دستگاه کره - صفحه به صورت تعریفی در کاربرد این مختصات آمده است. با استفاده از مختصات دوکروی، معادله‌ی لیپلس R جداسدنی است [8]. بنابراین می‌توان عبارت‌هایی برای پتانسیل، ضربه‌ای ظرفیت، نیرو به دست آورد. اما جواب‌ها می‌بدهد آنکه برای نیرو بر حسب انتگرال‌ها معمین، یا تابع‌ها ناآشنا است، که در مقایسه با روش‌های دیگر پیچیده‌تر است و کار تحلیل مسئله را دشوار می‌کند [7]. در روش تصویر، با تعیین توزیع بارها تصویری، دیگر نیازی به حل معادله‌ی لیپلس نیست.



شکل 1: تصویرهای متواالی برای دو کره که یکی به زمین وصل شده است.

## 2 ضریب‌های ظرفیت دو کره

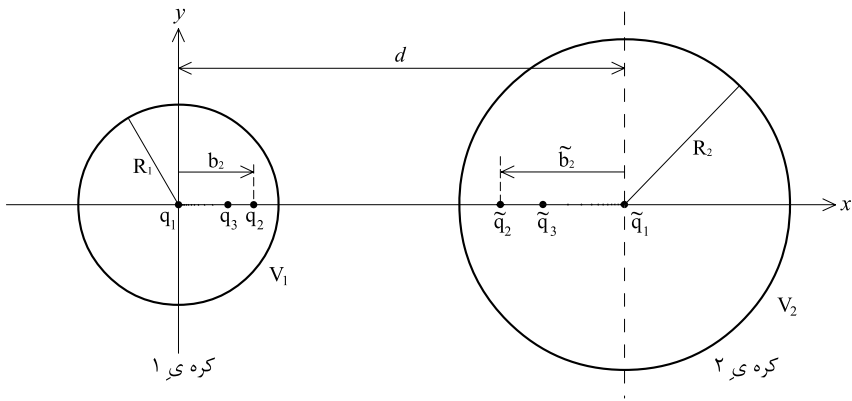
فرض کنید دو کره‌ی رسانا به شعاع‌ها‌ی  $R_1$  و  $R_2$  و بارها‌ی  $Q_1$  و  $Q_2$  داریم که مرکزهای آن‌ها به فاصله‌ی  $d > R_1 + R_2$  از هم باشد. همچنین فرض می‌کنیم کره‌ی ۱ در پتانسیل  $V$  باشد و کره‌ی ۲ به زمین وصل باشد، (شکل ۱). می‌خواهیم دو کره را با مجموعه‌ای از بارها‌ی نقطه‌ای که درون کره‌ها قرار دارند، جای‌گزین کنیم به طوری که همان میدان الکتریکی دو کره را ایجاد کند. اوّلین گام قرار دادن بار  $q_1 = 4\pi\epsilon_0 R_1 V$  در مرکز کره‌ی ۱ است تا پتانسیل  $V$  را روی سطح آن تولید کند. اما با این کار پتانسیل سطح کره‌ی ۲ به هم می‌خورد. پس لازم می‌شود بار تصویری  $q_2$  را داخل کره‌ی ۲ قرار دهیم تا پتانسیل کره‌ی ۲ را در مقدار صفر نگه دارد. به همین ترتیب وجود بار  $q_2$  پتانسیل کره‌ی ۱ را به هم می‌زند و باید بار تصویری  $q_3$  را داخل کره‌ی ۱ قرار داد. بارها‌ی داخل کره‌ی ۱ و فاصله‌هایشان از مبدأ عبارتند از: ( $j = 1, 2, 3, \dots$ )

$$q_1 = 4\pi\epsilon_0 R_1 V, \quad b_1 = 0, \quad q_{(2j+1)} = -\frac{R_1}{b_{(2j)}} q_{(2j)}, \quad b_{(2j+1)} = \frac{R_1^2}{b_{(2j)}} \quad (1)$$

بارها‌ی داخل کره‌ی ۲ و فاصله‌هایشان از مبدأ عبارتند از: ( $j = 1, 2, 3, \dots$ )

$$q_2 = -\frac{R_2}{d} q_1, \quad b_2 = \frac{R_2^2}{d}, \quad q_{(2j)} = -\frac{R_2}{b_{(2j-1)}} q_{(2j-1)}, \quad b_{(2j)} = \frac{R_2^2}{b_{(2j-1)}} \quad (2)$$

با جمع کردن بارها‌ی داخل کره‌ی ۲ و تقسیم آن بر اختلاف پتانسیل بین کره‌ی ۱ و کره‌ی ۲ به دست می‌آید:



شکل 2: تصویرهای متواالی برای دو کره با پتانسیل‌های مختلف.

$$c_{12} = c_{21} = -\frac{4\pi\epsilon_0 R_1}{q_1} (q_2 + q_4 + q_6 + \dots) \quad (3)$$

همچنین مجموع بارهاي داخل کره ي 1 تقسيم بر اختلاف پتانسیل دو کره می شود:

$$c_{11} = \frac{4\pi\epsilon_0 R_1}{q_1} (q_1 + q_3 + q_5 + \dots) \quad (4)$$

با تبدیل  $R_1$  به  $R_2$ , در رابطه ي  $c_{11}$ , می توان  $c_{22}$  را نیز به دست آورد. رابطه های بالا برای محاسبه ي دقیق مناسب نیستند، مگر این که  $d \gg R_{1,2}$  باشد. با به دست آوردن یک رابطه ي کلی بین تصویرهاي متواالی و حل معادله ي تفاضلی حاصل، می توان نمایش بسته ای برای سری ها به دست آورد. فرض کنید  $n$  امین تصویر داخل کره ي 1،  $q_n$  و تصویر داخل کره ي 2،  $\tilde{q}_n$  باشد. فاصله ي بین مرکز کره ي 1 تا  $b_n$  را  $q_n$  و فاصله ي بین مرکز کره ي 2 تا  $\tilde{q}_n$  می گیریم. در نتیجه:

$$\tilde{q}_n = -\frac{R_2}{d - b_n} q_n, \quad \tilde{b}_n = \frac{R_2^2}{d - b_n} \quad (5)$$

$$q_{n+1} = -\frac{R_1}{d - \tilde{b}_n} \tilde{q}_n = +\frac{R_1 R_2}{d(d - b_n) - R_2^2} q_n \quad (6)$$

$$b_{n+1} = \frac{R_1^2}{d - \tilde{b}_n} = \frac{R_1^2(d - b_n)}{d(d - b_n) - R_2^2} = \frac{R_1}{R_2} \frac{q_{n+1}}{q_n}(d - b_n) \quad (7)$$

با حذف  $d - b_n$  داریم:

$$\frac{q_n}{q_{n+1}} = \frac{d}{R_1^2} \frac{q_n}{q_{n+1}} b_{n+1} - \frac{R_2}{R_1} \quad (8)$$

با تبدیل  $n$  به  $n - 1$  در رابطه  $b_n$  بالا و حذف  $b_n$  به دست می آید:

$$\frac{1}{q_{n+1}} + \frac{1}{q_{n-1}} = \frac{d^2 - R_1^2 - R_2^2}{R_1 R_2} \frac{1}{q_n} \quad (9)$$

این یک معادله  $n$ -تفضیلی مرتبه  $n$  دوم با ضریب‌ها  $1, u^n/q_n, u^{n-1}/q_{n-1}$  ثابت است. روش کلی حل این است که قرار دهیم  $u^n/q_n = u^n$  و با تقسیم بر  $u^n$  معادله  $1 + u^{n-1}/q_{n-1}$  حاصل را برای  $u$  حل کنیم. اگر  $u_1$  و  $u_2$  دو جواب باشند، جواب معادله  $1 + u^{n-1}/q_{n-1}$  است که  $A$  و  $B$  از شرایط اولیه به دست می آیند. یک جواب معادله  $1 + u^n/q_n$  بالا چنین است:

$$\frac{1}{q_n} = A \cosh n\alpha + B \sinh n\alpha \quad (10)$$

که برای محاسبه  $A$  و  $B$  داریم:

$$\frac{1}{q_1} = \frac{1}{4\pi\epsilon_0 R_1 V} = A \cosh \alpha + B \sinh \alpha$$

$$\frac{1}{q_2} = \frac{d^2 - R_2^2}{R_1 R_2} \frac{1}{4\pi\epsilon_0 R_1 V} = (2 \cosh \alpha + \frac{R_1}{R_2}) \frac{1}{4\pi\epsilon_0 R_1 V} = A \cosh 2\alpha + B \sinh 2\alpha$$

با حل دستگاه دو معادله‌ای  $A$  و  $B$  برای  $\alpha$  به دست می آید:

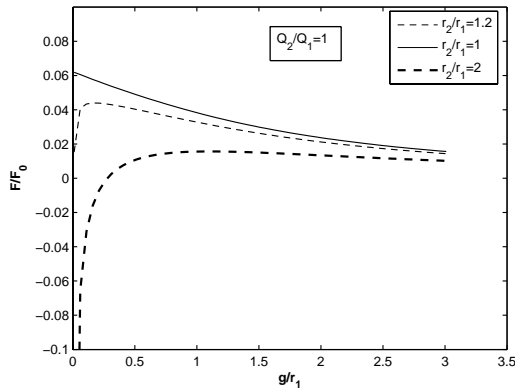
$$A = -\frac{1}{4\pi\epsilon_0 R_2 V}, \quad B = \frac{R_2 + R_1 \cosh \alpha}{4\pi\epsilon_0 R_1 R_2 V \sinh \alpha}$$

در نتیجه:

$$\frac{1}{q_n} = \frac{R_2 \sinh n\alpha + R_1 \sinh(n-1)\alpha}{4\pi\epsilon_0 R_1 R_2 V \sinh \alpha} \quad (11)$$

با جمع بارها  $1$  داخل کرده  $c_{11}$  به دست می آید:

$$c_{11} = 4\pi\epsilon_0 R_1 R_2 \sinh \alpha \sum_{n=1}^{\infty} \frac{1}{R_2 \sinh n\alpha + R_1 \sinh(n-1)\alpha} \quad (12)$$



شکل 3: نیروی کولنی بین دو کره را بارهای برابر به صورت تابعی از فاصله‌ی خالی دو کره از هم.  $F_0 = k(2\pi)^2(Q_1/(4R_1))^2$  بین دو کره است.

برای تعیین  $c_{12}$  باقیستی  $\tilde{q}_n$  ها را به دست آوریم. با حذف  $d - b_n$  داریم:

$$-\frac{1}{\tilde{q}_n} = \frac{R_1}{d} \frac{1}{q_{n+1}} + \frac{R_2}{d} \frac{1}{q_n} \quad (13)$$

با قرار دادن  $1/q_n$  و  $1/q_{n+1}$  به دست می‌آید:

$$\frac{1}{\tilde{q}_n} = -\frac{d \sinh n\alpha}{4\pi\epsilon_0 R_1 R_2 V \sinh \alpha} \quad (14)$$

در نتیجه:

$$c_{12} = -\frac{4\pi\epsilon_0 R_1 R_2 \sinh \alpha}{d} \sum_{n=1}^{\infty} \frac{1}{\sinh n\alpha} \quad (15)$$

همچنین بنا به تقارن داریم:

$$c_{22} = 4\pi\epsilon_0 R_1 R_2 \sinh \alpha \sum_{n=1}^{\infty} \frac{1}{R_1 \sinh n\alpha + R_2 \sinh(n-1)\alpha} \quad (16)$$

### 3 محاسبه‌ی نیرو

تا به حال پتانسیل کره‌ی ۲ را صفر گرفتیم، زیرا اجازه می‌داد تا جداگانه مُنْعَلَّفَه‌های  $c_{ij}$  را محاسبه کنیم. اگر کره‌ی ۱ به پتانسیل  $V_1$  (بار  $Q_1$ ) و کره‌ی ۲ به پتانسیل  $V_2$  (بار  $Q_2$ ) وصل باشند، در این صورت علاوه بر بار  $q_1$  در مرکز کره‌ی ۱، بار  $\tilde{q}_1$  را در مرکز کره‌ی ۲ قرار می‌دهیم تا پتانسیل ش  $V_2$  شود. بارها‌ی تصویری  $q_n, \tilde{q}_n$  و مکان‌هایشان  $b_n, \tilde{b}_n$  برابرند با:

$$q_n = -\frac{R_1}{d - \tilde{b}_{n-1}} \tilde{q}_{n-1}, \quad b_n = \frac{R_1^2}{d - \tilde{b}_{n-1}} \quad (17)$$

$$\tilde{q}_n = -\frac{R_2}{d - b_{n-1}} q_{n-1}, \quad \tilde{b}_n = \frac{R_2^2}{d - b_{n-1}} \quad (18)$$

می‌توان نشان داد:

$$b_n = \frac{d^2 - R_2^2}{d} - \frac{R_1 R_2}{d} \frac{q_n}{q_{n+2}} \quad (19)$$

$$\frac{1}{q_{n-2}} + \frac{1}{q_{n+2}} = \frac{d^2 - R_1^2 - R_2^2}{R_1 R_2} \frac{1}{q_n} \quad (20)$$

با تعریف  $\cosh 2\alpha := \frac{d^2 - R_1^2 - R_2^2}{2R_1 R_2}$ ، دوباره جواب معادله‌ی تفاضلی را به صورت  $1/q_n = A \cosh n\alpha + B \sinh n\alpha$  فرد به دستگاه زیر می‌رسیم:

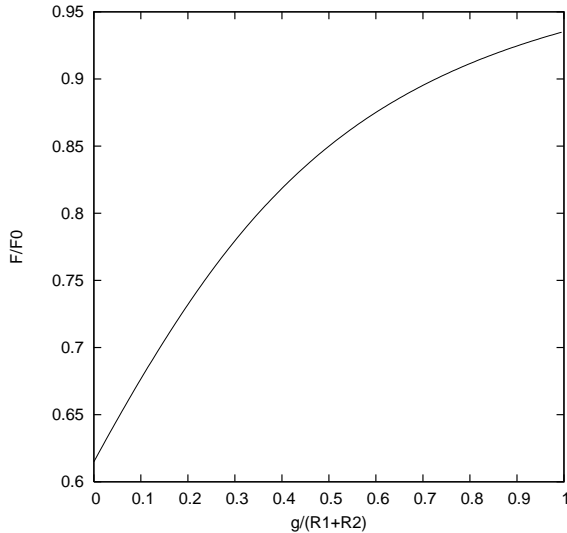
$$A \cosh \alpha + B \sinh \alpha = \frac{1}{4\pi\epsilon_0 R_1 V_1} \quad (21)$$

$$A \cosh 3\alpha + B \sinh 3\alpha = \frac{1}{4\pi\epsilon_0 R_1 V_1} (2 \cosh 2\alpha + \frac{R_1}{R_2})$$

برای  $A$  و  $B$  به دست می‌آید:

$$A = \frac{1 - R_1/R_2}{2 \cosh \alpha} \frac{1}{4\pi\epsilon_0 R_1 V_1}, \quad B = \frac{1 + R_1/R_2}{2 \sinh \alpha} \frac{1}{4\pi\epsilon_0 R_1 V_1}$$

در نتیجه:



شکل 4: نمودار تغییرات نیروی دو کره (که با نیروی دو بار در مرکز کره ها بهنجار شده است)، بر حسب کمیت  $F_s/F_0$ ، بر حسب شرط  $R_1 = R_2$  و  $Q_1 = Q_2$  . $g/(R_1 + R_2)$  برقرار است.

$$q_n^o = 4\pi\epsilon_0 R_1 V_1 \frac{R_2 \sinh 2\alpha}{R_1 \sinh(n-1)\alpha + R_2 \sinh(n+1)\alpha},$$

$$b_n^o = R_1 \frac{d \sinh(n-1)\alpha}{R_1 \sinh(n-1)\alpha + R_2 \sinh(n+1)\alpha}.$$

به همین ترتیب برای  $n$  های زوج به دست می آید:

$$q_n^e = 4\pi\epsilon_0 R_2 V_2 \frac{R_1 \sinh 2\alpha}{d \sinh n\alpha}, \quad b_n^e = R_1 \frac{R_1 \sinh n\alpha + R_2 \sinh(n-2)\alpha}{d \sinh n\alpha}.$$

بنا به تقارن، رابطه های  $\tilde{b}_n$  و  $\tilde{q}_n$  از تعویض  $R_1$  و  $V_1$  به  $R_2$  و  $V_2$  به دست می آید. بار کره ها هم برابر است با:

$$Q_1 = \sum_{n=1}^{\infty} q_n = c_{11}V_1 + c_{12}V_2, \quad Q_2 = \sum_{n=1}^{\infty} \tilde{q}_n = c_{21}V_1 + c_{22}V_2.$$

با دانستن اندازه های بارها و مکان ها می توان نیرو را با جمع بندی به دست آورد.

$$F = k \sum_{n=1}^{\infty} \sum_{m=1}^{\infty} \frac{q_n \tilde{q}_m}{\left| d - (b_n + \tilde{b}_m) \right|^2}. \quad (22)$$

همچنین می‌توان نیرویی را که دو کره‌ی رسانا به هم وارد می‌کنند از انرژی الکتروستاتیک محاسبه کرد.

$$U = \frac{1}{2} c_{11} V_1^2 + c_{12} V_1 V_2 + \frac{1}{2} c_{22} V_2^2 = \frac{1}{2} p_{11} Q_1^2 + p_{12} Q_1 Q_2 + \frac{1}{2} p_{22} Q_2^2 \quad (23)$$

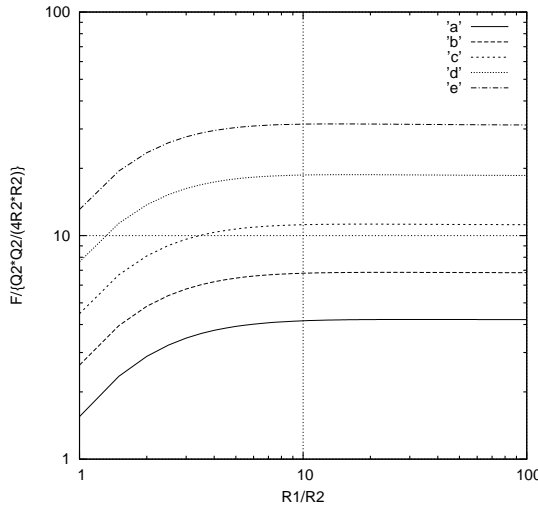
ضریب‌ها ای ظرفیت از رابطه‌ها ای (12)، (15) و (16) به دست می‌آیند. ضریب‌ها ای پتانسیل عنصرها ای ماتریس وارون  $c_{ij}$  هستند. نیرو هم می‌شود

$$F = - \left( \frac{\partial U}{\partial d} \right) \quad (24)$$

در ادامه به بررسی داده‌ها ای عددی برای نیرو پرداخته‌ایم. در نمودار شکل 3 نیروی دو کره با بارهای برابر به صورت تابعی از فاصله‌ی جدایی دو کره از هم برای سه حالت مختلف رسم شده است. مشاهده می‌شود که اگر  $R_1 > 1.24 R_2$  باشد، نیروی دو کره‌ی با بارهای برابر جاذبه می‌شود. نمودار شکل 4، تغییرات نیروی دو کره (که با نیروی دوبار در مرکز کره‌ها بهنجار شده است)، یعنی  $F_s/F_0$  را بر حسب کمیت  $(R_1 + R_2)/g$  نشان می‌دهد. فاصله‌ی فضای خالی بین دو کره است). در این نمودار فرض براین است که کره‌ها بار و شعاع‌هایی برابر دارند. این نمودار نشان می‌دهد که مستقل از مقیدار بار و یا شعاع، داده‌ها بروی یک نمودار قرار می‌گیرند و برای فاصله‌ها ای بسیار کم مقدار  $F_s/F_0$  به عدد 0.6189 میل می‌کند که با مقیدار عددی ارائه شده در مرجع [9] هم خوانی دارد. به طوری که مشاهده می‌شود، مقدار بهنجار شده‌ی نیرو در حد فاصله‌ها ای دور به یک میل می‌کند که گویا ای تبدیل سیستم به دو بار نقطه‌ای است. در نمودار شکل 5،  $R_1/R_2$  را تغییر داده و مقدار بهنجار شده‌ی نیرو را برای مقادیر مختلف  $g$  به دست آورده‌ایم. به این منظور مقدار بار  $Q_2$  را صفر گرفته‌ایم. این نمودار نشان می‌دهد که کاهش  $g$  سبب افزایش نیرو می‌شود. و برای یک  $g$  ثابت با افزایش  $R_1/R_2$ ، مقدار بهنجار شده‌ی نیرو تقریباً ثابت می‌ماند. نمودار به دست آمده با داده‌ها ای رسم شده در مرجع [10] در توافق کامل است.

## 4 دو کره‌ی رسانا ای باردار چسبیده به هم

در این حالت  $d = R_1 + R_2$  و معادله‌ی تفاضلی می‌شود:



شکل ۵: نیروی بهنچار شده بین دو کرهٔ رسانا (فقط کرهٔ کوچک‌تر باردار شده است).  
 $a : g = R_2/256$  :  $d : g = R_2/128$  :  $c : g = R_2/64$  :  $b : g = R_2/32$  :  $a : g = R_2/512$  :  $e$

$$g = R_2/512 : e$$

$$\frac{1}{q_{n+2}} + \frac{1}{q_{n-2}} = \frac{2}{q_n} \quad (25)$$

با نوشتن معادلهٔ مشخصه، دو ریشهٔ تکراری  $\pm 1$  به دست می‌آید. پس  $q_n/1$  به صورت زیر است:

$$\frac{1}{q_n} = A_0 + A_1 n + (-1)^n (B_0 + B_1 n) \quad (26)$$

دوباره ضرایب را با شرایط اولیه به دست می‌آوریم. در نتیجه:

$$q_n = \frac{16\pi\epsilon_0 V_0 R_1 R_2}{[2nd + (R_2 - R_1)](-1)^{n+1} + (R_2 - R_1)} \quad (27)$$

به همین ترتیب برای  $\tilde{q}_n$  به دست می‌آید: (به دلیل تقارن جای  $R_1$  و  $R_2$  عوض می‌شود).

$$\tilde{q}_n = \frac{16\pi\epsilon_0 V_0 R_1 R_2}{[2nd - (R_2 - R_1)](-1)^{n+1} - (R_2 - R_1)} \quad (28)$$

از رابطه‌ی  $b_n = \frac{d^2 - R_2^2}{d} - \frac{R_1 R_2}{d} \frac{q_n}{q_{n+2}}$  هم به دست می‌آید:

$$b_n = \frac{1}{d} \left[ R_1^2 + R_1 R_2 \left( \frac{[2(n-2)d + (R_2 - R_1)](-1)^{n+1} + (R_2 - R_1)}{[2nd + (R_2 - R_1)](-1)^{n+1} + (R_2 - R_1)} \right) \right] \quad (29)$$

رابطه‌ی  $\tilde{b}_n$  هم با تعویض  $R_2$  و  $R_1$  به دست می‌آید.  
بار کل روی هر کره با جمع کردن بارها ای تصویری داخل همان کره به دست می‌آید:

$$Q_1 = \sum_{n=1}^{\infty} q_n = 4\pi\epsilon_0 V_0 R_1 \cdot S_1, \quad Q_2 = \sum_{n=1}^{\infty} \tilde{q}_n = 4\pi\epsilon_0 V_0 R_2 \cdot S_2 \quad (30)$$

که در آن  $S_1$  و  $S_2$  برابرند با: [باوشتن  $(R_2 - R_1) = 2R_2 - d$  و جمع زدن روی  $n$  های زوج و فرد]

$$S_1 = R_2 \sum_{n=1}^{\infty} \left( \frac{1}{(n-1)d + R_2} - \frac{1}{nd} \right), \quad S_2 = R_1 \sum_{n=1}^{\infty} \left( \frac{1}{(n-1)d + R_1} - \frac{1}{nd} \right)$$

در نتیجه پتانسیل دستگاه می‌شود:

$$V_0 = \frac{Q_{10} + Q_{20}}{4\pi\epsilon_0(R_1 S_1 + R_2 S_2)}. \quad (31)$$

چون  $S_1$  و  $S_2$  کوچک‌تر از 1 آند، پتانسیل دو کره‌ی چسبیده به هم بیشتر از وقتی است که دو کره را با یک سیم دراز به هم وصل کنیم. پتانسیل در یک نقطه بیرون کره، جمع پتانسیل تمام بارها ای تصویری داخل کره‌ها است:

$$\phi = \frac{1}{4\pi\epsilon_0} \sum_{n=1}^{\infty} \left( \frac{q_n}{r_n} + \frac{\tilde{q}_n}{\tilde{r}_n} \right). \quad (32)$$

با انتخاب مبداء دستگاه مختصات در مرکز کره‌ی 1 و محور  $\hat{z}$  در راستای محور تقارن دو کره،  $r_n$  و  $\tilde{r}_n$  می‌شوند:

$$r_n = (r^2 + b_n^2 + 2rb_n \cos\theta)^{1/2}, \quad \tilde{r}_n = (r^2 + (d - \tilde{b}_n)^2 + 2r(d - \tilde{b}_n) \cos\theta)^{1/2},$$

که از این‌جا می‌توان عبارت‌هایی برای چگالی بار سطحی کره‌ها و نیرو به دست آورد. در حالت خاص  $Q_1 = Q_2 = Q$  و  $d = 2R$   $R_1 = R_2 = R$  دافعه می‌شود:

$$F = \frac{V_0^2}{k} \sum_{n,m=1}^{\infty} \frac{(-1)^{m+n} n m}{(n+m)^2}, \quad (33)$$

که با محاسبه‌ی سری [12]، به دست می‌آید:

$$F = \frac{V_0^2}{6k} \left( \ln 2 - \frac{1}{4} \right). \quad (34)$$

## 5 قدردانی

در رسم نمودارها از نرم‌افزارهای MATLAB و C++ استفاده شده است. از دوستانم، آقایان مولاداد نیکبخت و یوسف عزیزی برای راهنمایی‌هایشان در کارهای عددی تشکر می‌کنم. از استاد عزیزم، دکتر محمد خرمی، برای راهنمایی‌هایشان در مدت انجام این کار سپاس‌گزارم.

## 6 یادداشت‌ها و مراجع

[1] نیروی چسبنده‌گی بین باردار دیالکتریک در تماس با یک صفحه‌ی رسانا در حوزه‌های مختلفی مثل الکتروفتوگرافی (نیروی کوئن باید بر چسبنده‌گی "تویر"‌ها غلبه کند)، نیمه‌رساناها (حذف ناخالصی‌ها ای باردار در ابعاد میکرون در ساختن وسایل نیمه‌رسانا) و میکروسکوب نیروی اتمی (توضیح نمودارها ای نیرو-فاصله) کاربرد دارد. برهم‌کنیش بین کره‌ها ای رسانا ای نزدیک هم در تشکیل aerosole ها اساسی است. زیرا هر تغییر در سطح این ذرات مستقیماً بر آهنگ تشکیل آن‌ها اثر می‌گذارد.

[2] M. Poison, Mem. Sci. Math. de l' Inst. Imp. Fr. **12**, (1811)

[3] W. Thomson, Philos. Mag. **5**, 287 (1853)

[4] J. C. Maxwell, *Treatise on Electricity and Magnetism*, vol. 1, Oxford, 1873, § 171-3, p. 266.

[5] A. Russell: "The Capacity Coefficients of Spherical Electrodes", *Proc. Phys. Soc. London*, vol. 23, (1911)

[6] علاوه بر مختصات دوکروی و روش تصویر، از این‌ها هم استفاده شده است:

(i) استفاده‌ی مستقیم از قانون کولن [13]:

(ii) روش بسط مجدد؛ برای دوکره می‌توان جمله‌های بسط لُرثاندر پتانسیل یکی از کره‌ها را حول مرکز کره‌ی دیگر بسط داد. با استفاده از رابطه‌ی حاصل و اعمال شرایط مرزی، معادلات حاکم بر ضریب‌ها‌ی بسط پتانسیل به دست می‌آید. با محاسبه‌ی این ضریب‌ها چگالی سطحی و در آخر نیرو به دست می‌آید [10].

(iii) تبدیل کلوین؛ با استفاده از این نگاشت هم‌دیس (که همان تبدیل وارون در سه‌بعد است) می‌توان دوکره‌ی بیرون هم را به دوکره‌ی هم‌مرکز تبدیل کرد. با پیدا کردن پتانسیل در هندسه‌ی نگاشت‌یافته، پتانسیل در مسئله‌ی اصلی هم معلوم می‌شود [4].

- [7] M. H. Davis, *Quarterly Journal of Mechanics and Applied Mathematics*, vol. 17, p. 499 (1964)
- [8] P. M. Morse & H. Feshbach, *Methods of Theoretical Physics*, McGraw-Hill, 1953
- [9] J. D. Jackson, *Classical Electrodynamics*, 3rd edition, John Wiley, 1998, p. 87.
- [10] Y. Nakajima & T. Sato: “Calculation of electrostatic force between two charged dielectric spheres by re-expansion method”, *Journal of Electrostatics*, vol. 45, p. 213 (1999)
- [11] W. R. Smythe, *Static and Dynamic Electricity*, McGraw-Hill, 1968
- [12] I. S. Gradshteyn & I. M. Ryzhik, *Table of integrals, series and products*, 1980
- [13] A. V. M. Khachatourian, A. O. Wistrom: “Evaluation of the Coulomb force via the Fredholm integral equations”, *Journal of Physics A*, vol. 33, p. 307 (2000)

## 7 اسم‌های خاص

- [a] Poison, [b] Kelvin, [c] Maxwell, [d] Russell, [e] Morse - Feshbach, [f] Arfken